

**FAG****23964-K-MB**

Радиальный сферический роликоподшипник

Радиальный сферический
роликоподшипник 239...-K-MB,
симметричный, 3 борта

Техническая информация

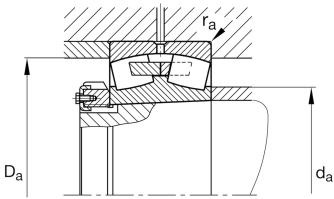


Ваш текущий вариант продукта

Исполнение отверстия	K	Коническое, 1:12
Cage	MB	Латунный сепаратор, массивный
Радиальный зазор	CN (Group N)	Normal internal clearance
Relubrication facility	Standard	Стандарт

Основные размеры и рабочие характеристики

d	320 mm	Диаметр отверстия
D	440 mm	Наружный диаметр
B	90 mm	Ширина
C_r	1.310.000 N	Динамическая грузоподъемность, радиальная
C_{0r}	2.750.000 N	Статическая грузоподъемность, радиальная
C_{ur}	206.000 N	Предел усталостной нагрузки, радиальный
n_G	1.700 1/min	Предельная частота вращения
n_{gr}	930 1/min	Номинальная тепловая частота вращения
m	39,415 kg	Вес





Присоединительные размеры

$d_{a \min}$	332,4 mm	Мин. диаметр заплечика вала
$D_{a \max}$	427,6 mm	Макс. диаметр заплечика корпуса
$r_{a \max}$	2,5 mm	Макс. радиус галтели
$d_{a \max}$	349 mm	Макс. диаметр заплечика вала
$d_{b \min}$	332 mm	Мин. диаметр под втулку
$B_{a \min}$	12 mm	Мин. глубина под втулку

Габаритные размеры

r_{\min}	3 mm	Мин. размер монтажной фаски
D_1	406,2 mm	Диаметр отверстия наружного кольца
d_s	9,5 mm	Диаметр смазочного отверстия
n_s	17,7 mm	Width of lubricating groove

Диапазон температур

T_{\min}	-30 °C	Мин. рабочая температура
T_{\max}	200 °C	Макс. рабочая температура

Коэффициенты для расчета

e	0,19	Предельное значение F_a/F_g для применимости различн. значений коэффициентов X и Y
Y_1	3,62	Динамический коэффициент осевой нагрузки
Y_2	5,39	Динамический коэффициент осевой нагрузки
Y_0	3,54	Статический коэффициент осевой нагрузки

Дополнительная информация

H3964-HG	Закрепительная втулка
АН3964G-H	Withdrawal sleeve



Характеристики

-  Радиальная нагрузка
-  Осевая нагрузка в одном направлении
-  Осевая нагрузка в обоих направлениях
-  Смазывание пластичной смазкой
-  Смазывание маслом
-  Без уплотнений
-  Крупногабаритный подшипник
-  Статические угловые и линейные несоосности
-  Динамические угловые и линейные несоосности